



# نهان‌کاوی صوت مبتنی بر همبستگی بین فریم و کاهش بازگشتی ویژگی

فاطمه اشعری\* و نوشین ریاحی

دانشکده فنی و مهندسی دانشگاه الزهرا(س)، تهران، ایران

## چکیده

سیگنال‌های صوتی دیجیتال، بهدلیل این‌که حاوی نرخ اطلاعات زیادی هستند، پوشش مناسبی برای روش‌های نهان‌نگاری محسوب می‌شوند. روش‌های متنوعی برای نهان‌نگاری داده‌های مختلف و به تبع آن نهان‌کاوی داده‌ها در سیگنال صوتی وجود دارد. در این میان روش‌های نهان‌کاوی فراگیر بهدلیل عدم وابستگی به الگوریتم نهان‌نگاری، کاربرد وسیع‌تری دارند. در این مقاله روش جدیدی برای نهان‌کاوی فراگیر ارائه شده که در آن با به کارگیری ضرایب مربوط به همبستگی بین فریم، دقت نهان‌کاوی به مقدار قابل توجهی افزایش پیدا کرده است. همچنین عملکرد ماشین بردار پشتیبان با به کارگیری الگوریتم کاهش بازگشتی ویژگی‌ها به همراه کاهش بایاس ناشی از همبستگی بین آن‌ها بهبود یافته که منجر به افزایش پایداری نهان‌کاوی و دقت بیشتر شده است.

واژگان کلیدی: نهان‌نگاری، نهان‌کاوی، همبستگی بین فریم، کپستروم مل معکوس، کاهش بازگشتی ویژگی

## Audio Steganalysis based on Inter-frame correlation and recursive feature elimination

Fatemeh Ashari\* & Nooshin Riahi

College of engineering, Alzahra University, Tehran, Iran

### Abstract

Dramatic changes in digital communication and exchange of image, audio, video and text files result in a suitable field for interpersonal transfers of hidden information. Therefore, nowadays, preserving channel security and intellectual property and access to hidden information make new fields of researches naming steganography, watermarking and steganalysis. Steganalysis as a binary classification distinguish clean signals from stego signals. Features extracted from time and transform domain are proper for this classifier.

Some of steganalysis methods are depended on a specific steganography algorithm and others are independent. The second group of methods are called Universal steganalysis. Universal steganalysis methods are widely used in applications because of their independency to steganography algorithms. These algorithms are based on characteristics such as distortion measurements, higher order statistics and other similar features.

In this research we try to achieve more reliable and accurate results using analytical review of features, choose more effective of them and optimize SVM performance.

In new researches Mel Frequency Cepstral Coefficient and Markov transition probability matrix coefficients are used to steganalysis design. In this paper we consider two facts. First, MFCC extract signal features in transform domain similar to human hearing model, which is more sensitive to low frequency signals. As a result, in this method there is more hidden information mostly in higher frequency audio signals. Therefore, it is suggested to use reversed MFCC. Second, there is an interframe correlation in audio signals which is useful as an information hiding effect.

For the first time, in this research, this features is used in steganalysis field. To have more accurate and stable results, we use recursive feature elimination with correlation bias reduction for SVM.

\* Corresponding author

\* نویسنده عهده‌دار مکاتبات



To implement suggested algorithm, we use two different data sets from TIMIT and GRID. For each data sets, Steghide and LSB-Matching steganography methods implement with 20 and 50 percent capacity. In addition, one of the LIBSVM 3.2 toolboxes is sued for implementation.

Finally, the results show accuracy of steganalysis, four to six percent increase in comparison with previous methods. The ROC of methods clearly shows this improvement.

**Keywords:** steganalysis, steganography, Mel, SVM-RFE+CBR

هستند که نهان‌کاوی فرآگیر نامیده می‌شوند. الگوریتم‌های نهان‌کاوی فرآگیر صوت بر اساس مشخصه‌هایی همچون معیار اعوجاج سیگنال صوتی، آماره‌های مرتبه بالا<sup>۳</sup> و سایر ویژگی‌ها عمل می‌کنند. در این پژوهش سعی کردایم با بررسی تحلیلی ویژگی‌ها، انتخاب مؤثرترین آن‌ها و همچنین بهینه‌سازی عملکرد ماشین بردار پشتیبان به نتایج با دقت بالاتر و قابل اعتمادتری دست پیدا کنیم.

## ۲- زمینه پژوهش

در سال ۲۰۰۳ Ozer و همکارانش توزیع معیارهای متنوع فاصله آماری بر روی سیگنال‌های صوتی پوشش و سیگنال‌های نهان‌نگاری شده با توجه به نسخه بدون نوفة آن‌ها محاسبه و مشاهده کردند که از لحاظ آماری متفاوت هستند [14]. در این روش معیارهای کیفیت صوت به کار می‌رود تا حالات غیرعادی در سیگنال تولید شده بهوسیله داده درج شده ضبط شود. در سال ۲۰۰۵ جانسون و همکارانش یک الگوریتم نهان‌کاوی عمومی بر اساس مطالعه ویژگی‌های آماری صحبت ضبط شده ارائه دادند [13].

در سال ۲۰۰۸، زنگ و همکارانش الگوریتم‌های نهان‌کاوی را ارائه داده‌اند که نهان‌نگاری پژواک را بر اساس گشتاورهای آماری فرکانس قله<sup>۴</sup> تشخیص می‌دهد [10]. الگوریتم نهان‌کاوی ارائه شده توسط لیو از معیار فاصله استفاده می‌کند تا اعوجاج بین یک سیگنال صوت پوشش و یک سیگنال صوت نهان‌نگاری شده را تشخیص دهد [11]. آماره‌های به دست آمده بر اساس فاصله هاسدورف<sup>۵</sup> به عنوان ویژگی‌هایی برای آموزش یک طبقه‌بندی کننده استفاده می‌شود. این فاصله با استفاده از تخمین نسخه بدون نوفة سیگنال، اعوجاج بین سیگنال پاک و نهان‌نگاری شده را به دست می‌آورد. این رویکرد در تولید یک سیگنال مرجع از طریق نسخه بدون نوفة آن باعث وابستگی اعوجاج به محتوا می‌شود. این عامل می‌تواند موجب شود که تغییرات در محتوای سیگنال، طبقه‌بندی کننده را از تشخیص اعوجاج‌های ایجاد شده در طی نهان‌کردن داده باز دارد. اوکیپاس یک روش

## ۱- مقدمه

افزایش روزافزون ارتباطات دیجیتال و تسهیل تبادل انواع فایل‌ها اعم از تصویر، صوت، ویدئو و متن، بهوسیله ابزارهای گوناگون، آن‌ها را به بسترها بسیار مناسبی برای انتقال اطلاعات پنهان بین افراد تبدیل کرده است. از سویی دیگر با توجه به گستردگی و قابل دسترس بودن محصولات چندرسانه‌ای، لزوم حفظ حق مالکیت اثر افزایش یافته است. به همین دلایل، نهان‌نگاری و نشان‌گذاری، به موضوع بسیار برجسته‌ای در پژوهش‌های علمی دنیا تبدیل شده و نرم‌افزارهای مختلفی با این کارکردها در دسترس خواص و عوام جوامع قرار گرفته است. همسو با پیشرفت و بهبود روش‌های نهان‌نگاری و نشان‌گذاری، نهان‌کاوی نیز به موضوع مهم و مورد توجهی تبدیل شده است. از یک سو حفظ امنیت کانال‌های ارتباطی و از سوی دیگر کشف اطلاعات پنهان موجود در پوشش‌های مختلف، موجب ایجاد این حوزه از پژوهش‌ها است.

مسئله نهان‌کاوی در واقع یک مسئله طبقه‌بندی دودویی است که باید سیگنال پاک را از سیگنال نهان‌نگاری تشخیص دهد. ویژگی‌هایی که برای انجام این کار مورد استفاده قرار می‌گیرند، می‌توانند ویژگی‌های آماری در حوزه‌های زمان و تبدیل باشند. بهدلیل شفافیت یک سیگنال نهان‌نگاری شده، ویژگی‌های استخراج شده در حوزه تبدیل مانند کسینوسی گسسته، موجک و به‌طور کلی تبدیلات چنددقیقی<sup>۱</sup>، به‌طور عمومی ویژگی‌های کارامدی هستند. پس از استخراج ویژگی، فرایند یادگیری برای تمایز میان سیگنال نهان‌نگاری شده و پاک مورد استفاده قرار می‌گیرد. این فرایند بهوسیله یک ماشین بردار پشتیبان<sup>۲</sup> صورت می‌گیرد.

سیگنال‌های صوتی دیجیتال، بهدلیل این که حاوی نرخ اطلاعات زیادی هستند، پوشش مناسبی برای روش‌های نهان‌نگاری محسوب می‌شوند. روش‌های متنوعی برای نهان‌نگاری داده‌های مختلف و به تبع آن نهان‌کاوی داده‌ها در سیگنال صوتی وجود دارد. برخی از روش‌های نهان‌کاوی وابسته به روش خاصی از نهان‌نگاری و برخی غیروابسته

<sup>3</sup> Higher order statistics

<sup>4</sup> Peak Frequency

<sup>5</sup> Hausdorff distance

<sup>1</sup> Multi Resolution

<sup>2</sup> SVM

شود. در ادامه هر یک از ویژگی‌های پیشنهادی به طور مشروح توضیح داده خواهد شد.

### ۱-۳- ضرایب کپسیستروم معکوس مل

مهم‌ترین هدف در سامانه نهان‌نگاری، عدم آشکارشدن پیام پنهان است. به بیان دیگر اگر پوشش و پیام پنهان<sup>۳</sup> قابل تفکیک از هم باشند، سامانه نهان‌نگاری ناموفق عمل می‌کند. ابتدایی‌ترین نگاه به مسئله امنیت نهان‌نگاری، عدم توانایی تشخیص آن توسط دستگاه شنوازی است. بنابراین برای یک سامانه نهان‌نگاری مهم است که پیام را به‌گونه‌ای جاسازی کند که اعوجاج ناشی از آن تا جای ممکن غیر قابل شنیدن باشد. اعوجاج ناشی از نهان‌نگاری را بر اساس آن‌چه هارمسن در سال ۲۰۰۳<sup>۴</sup> بیان کرد، می‌توان به صورت یک نوفة افزایشی مدل کرد [۱۵]. بنابراین مشابه آن‌چه در قبل نیز ذکر شده، سیگنال نهان‌نگاری شده را می‌توان به صورت زیر نشان داد:

$$S(t) = f(t) + e(t) \quad (1)$$

که  $f(t)$  سیگنال پوشش و  $e(t)$  اطلاعات نهان شده است. اثر نهان‌نگاری یا به عبارتی حضور نوافه در فرکانس‌های بالا بیشتر است و به عبارتی نسبت سیگنال به نوافه با افزایش فرکانس، افزایش می‌یابد. مقیاس مل به‌گونه‌ای تنظیم شده که مشابه گوش انسان، بیشترین وضوح را در فرکانس‌های پایین و کمترین وضوح را در فرکانس‌های بالا دارد.

از سوی دیگر این بخش، مربوط به فرکانس بالای سیگنال است که می‌تواند اثر نهان‌نگاری را منعکس کند. می‌توان مقیاس جدیدی به نام مقیاس معکوس مل<sup>۴</sup> تعریف کرد. استفاده از این مقیاس مانند این است که یک گوش مجازی وجود دارد که بهشت به تغییرات در فرکانس‌های بالا حساس است. پیشنهاد استفاده از این مقیاس برای طراحی فیلتر بانک و استخراج ضرایب کپسیستروم در کاربرد نهان‌نگاری نخستین بار توسط قاسم‌زاده در سال ۲۰۱۴ مطرح شد. او مقایسه‌ای بین کارامدی ضرایب مل و معکوسی مل در کاربرد نهان‌نگاری مطروح کرده است [۴]. با فرض این‌که سیگنال صوتی دارای فرکانس نمونه‌برداری  $F_s$  باشد، مقیاس معکوس مل برای فرکانس  $f$  بر حسب هرتز عبارت است از:

$$f_{rmel} = 1127 \times \ln\left(1 + \frac{F_s - f}{700}\right) \quad (2)$$

<sup>3</sup> stego object  
<sup>4</sup> Mel Reversed

نهان‌کاوی صوت بر پایه معیارهای اعوجاج مستقل از محظوظ ارائه کرده است [۱۲]. این روش از یک سیگنال مرجع تنها استفاده می‌کند که برای همه سیگنال‌های مورد آزمون مشترک است. لیو و همکارانش در سال ۲۰۰۹ از داده‌های رشته‌ای<sup>۱</sup> برای نهان‌کاوی سیگنال‌های صوتی استفاده کرده‌اند [۹]. آن‌ها در سال ۲۰۱۱ از ضرایب کپسیستروم فرکانسی مل<sup>۲</sup>، در کنار ضرایب ماتریس احتمال انتقال مارکوف برای انجام نهان‌کاوی کور استفاده کردند و نتایج بهتری را به دست آورده‌اند [۶]. در سال ۲۰۱۴ و ۲۰۱۶، قاسم‌زاده و همکارانش از ضرایب کپسیستروم معکوس مل برای نهان‌کاوی استفاده کردند و توانستند با استفاده از این ضرایب به دقت بالایی دست پیدا کنند [۱۴]. همچنین رن و همکارانش پیشنهاد استفاده از ضرایب ماتریس احتمال انتقال مارکوف را به عنوان ویژگی برای نهان‌کاوی صوت داده‌اند [۲].

در این مقاله رهیافت جدیدی برای نهان‌کاوی معرفی می‌شود که بر پایه استفاده از ضرایب کپسیستروم معکوس مل و ضرایب همبستگی بین فریم برای مشتق دوم سیگنال است. به‌منظور کاهش ویژگی‌ها و عدم مواجهه با پدیده بیش‌برازش نیز از روش کاهش بازگشتی ویژگی‌ها استفاده شده است. با حذف ویژگی‌های با اهمیت کمتر، دقت نهان‌کاوی نیز افزایش خواهد یافت. در بخش دوم به بحث در خصوص ضرایب کپسیستروم معکوس مل خواهیم پرداخت. بخش سوم راجع به همبستگی بین فریم و کارایی آن در نهان‌کاوی صوت خواهد بود و بخش چهارم به توضیح روش کاهش ویژگی بازگشی و چگونگی استفاده از آن اختصاص خواهد یافت. در بخش چهارم آزمایش‌های صورت‌گرفته و نتایج حاصل از آن ارائه خواهد شد.

### ۳- روش پیشنهادی

از آنجا که پس از نهان‌نگاری، نسبت سیگنال به نوافه در فرکانس‌های بالا نسبت به فرکانس‌های پایین بیشتر تحت تأثیر است، لذا استفاده از مقیاس معکوس مل که وضوح بیشتری در فرکانس‌های بالا دارد، در کارایی نهان‌کاوی مؤثرتر خواهد بود. همچنین در نهان‌نگاری به‌دلیل آن‌که اطلاعات پنهان ابتدا به صورت یک پیام شبه‌تصادفی رمز می‌شود، می‌توان آن را به صورت یک سیگنال نوافه افزایشی مدل کرد. انتظار می‌رود که اثر حضور نوافه در همبستگی میان ضرایب مربوط به دسته فرکانسی مشابه در فریم‌های همسایه منعکس

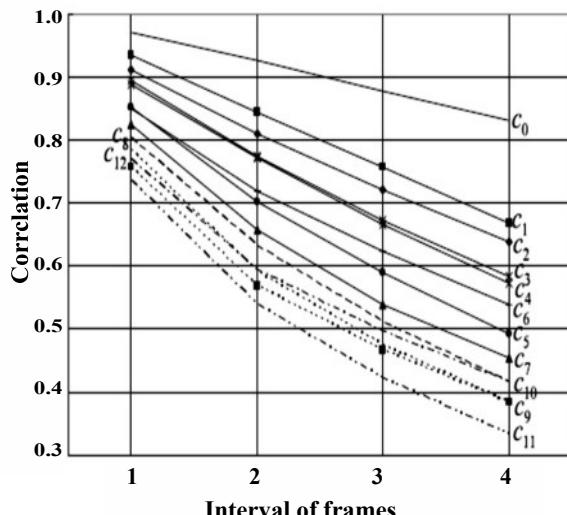
<sup>1</sup> Stream data mining

<sup>2</sup> Mel Frequency Cepstral Coefficient

معادله زیر نحوه محاسبه همبستگی بین ضرایب مل فریم‌های همسایه را نشان می‌دهد:

$$r(MFCCs_i, MFCCs_{i+k}) = \frac{\sum_{n=1}^{N-1} (C_{(i,n)} - \bar{C}_i)(C_{(i+k,n)} - \bar{C}_{i+k})}{\sqrt{\sum_{n=1}^N (C_{(i,n)} - \bar{C}_i)^2} \sqrt{\sum_{n=1}^N (C_{(i+k,n)} - \bar{C}_{i+k})^2}} \quad (3)$$

فاصله بین همسایگی،  $i$  شماره فریم،  $C_{(i,n)}$  ضریب مل  $i$ ام فریم  $i$  و  $N$  تعداد کل فریم‌هاست.



(شکل-۲): همبستگی بین فریم برای ضرایب MFCC (Figure-2): interframe Correlation for MFCC Coefficients

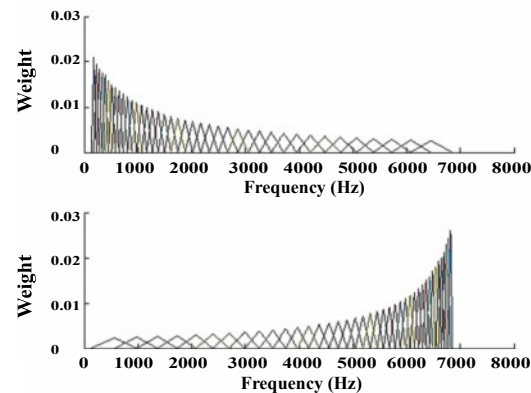
شکل (۲) همبستگی هر بردار ضرایب مل را بر حسب فاصله فریم برای یک سیگنال صوتی، نشان داده است. همان‌طور که انتظار می‌رود با افزایش مقدار  $k$  میزان همبستگی کاهش می‌یابد.

این همبستگی بین فریم با درنظر گرفتن همپوشانی در هنگام استفاده از پنجره برداری فریم‌بندی افزایش می‌یابد. در شکل (۳) از  $a$  تا  $d$  اثر همپوشانی بر روی همبستگی ضرایب کپسیترال نشان داده شده است.

همان‌طور که ملاحظه می‌شود، حتی هنگامی که همپوشانی در پنجره بندی بین فریم‌ها وجود ندارد، باز هم همبستگی ضرایب دیده می‌شود. دلیل این پدیده آن است که سیگنال‌های صوتی، سیگنال‌هایی با همبستگی زیاد بین فریم‌ها هستند.

در این مقاله از میانگین ۲۹ ضریب معکوس مل موجود در فریم‌ها و همچنین همبستگی این ضرایب در فریم‌های همسایه به عنوان ویژگی در طبقه‌بندی استفاده شده است.

بر اساس این مقیاس، مجموعه‌ای از فیلترهای مثلثی ساخته می‌شود. مقایسه بین بانک فیلترهای مل و مل معکوس در شکل (۱) نشان داده شده است.



(شکل-۱): مقایسه فیلتربانک مل (شکل بالا) و معکوس مل (شکل پایین) با فرکانس نمونه برداری ۱۹ کیلوهرتز  
(Figure-1): Comparison between Mel and Reversed Mel FilterBank

فرآیندی به طور دقیق مشابه آن‌چه در استخراج ضرایب مل اتفاق می‌افتد، برای به دست آوردن ضرایب معکوس مل نیز تکرار می‌شود که ضرایب کپسیترال فرکانسی معکوس<sup>۱</sup> مل نامیده می‌شود. فیلتربانک معکوس مل با بر عکس کردن فیلتربانک مل ساخته می‌شود که شامل فیلترهای مثلثی با دامنه فرکانسی منطبق با مقیاس مل و اندازه پهنای باند عکس فیلتر مل است.

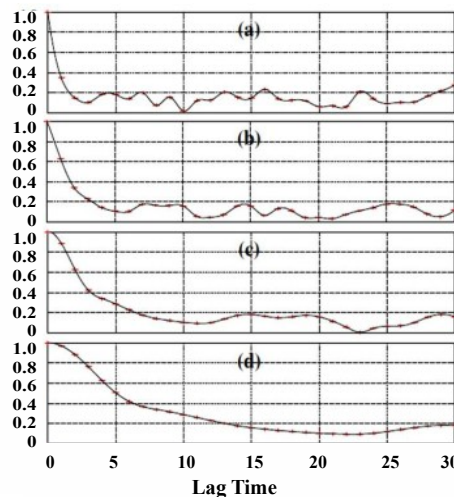
به کارگیری ویژگی‌هایی که اطلاعات مربوط به دستگاه شنوایی را حذف یا کم اهمیت‌تر و نواحی فرکانسی بالا را بر جسته‌تر می‌کنند، برای نهان‌نگاری کارانه‌تر خواهند بود. همین اساس در اینجا از ۲۹ ضریب کپسیتروم معکوس مل به عنوان ویژگی استفاده شده.

### ۳-۲- همبستگی بین فریم‌ها

همبستگی بین فریم‌ها ویژگی جالب و مهمی است که تا کنون از آن در حوزه نهان‌کاوی صوت استفاده نشده است. حضور نویفه در سیگنال صوتی به دلیل غیرهمبسته‌بودن مقادیر آن موجب کاهش همبستگی موجود در فریم‌های همسایه می‌شود. در نهان‌نگاری نیز به دلیل آن که اطلاعات پنهان ابتدا به صورت یک پیام شبه‌تصادفی رمز می‌شود و خروجی آن یک رشته شبه‌تصادفی است، می‌توان آن را به صورت یک سیگنال نویز افزایشی مدل کرد. انتظار می‌رود که اثر حضور نویفه در همبستگی میان ضرایب مل مربوط به دسته فرکانسی مشابه در فریم‌های همسایه منعکس شود.

<sup>۱</sup> Reversed Mel Frequency Cepstral Coefficients

طبقه‌بندی تعدادی از ویژگی‌های با رتبه پایین‌تر در فهرست ویژگی‌های رتبه‌بندی شده قرار می‌گیرد. تا وقتی که تمام ویژگی‌ها در فهرست ویژگی‌های رتبه‌بندی شده قرار نگرفته‌اند، طبقه‌بندی به روش ماشین بردار پشتیبان انجام می‌گیرد. برخلاف توانایی این روش در حذف ویژگی‌های غیر مفید، در این الگوریتم همبستگی بین ویژگی‌ها در نظر گرفته نشده است. پیشنهادهای متفاوتی در سال‌های بعد برای کامل شدن و رفع نواقص این روش ارائه شد. در سال ۲۰۱۱، تولوسی و همکارش نشان دادند که ارزیابی ویژگی‌ها برای ویژگی‌های با همبستگی بالا، دارای بایاس خواهد بود. این ویژگی‌ها در مدل طبقه‌بندی، وزن‌های کوچک‌تری دریافت می‌کنند و ممکن است، اهمیت آن‌ها نادیده گرفته شود [7]. هرچه گروه ویژگی‌های همبسته بزرگ‌تر باشد، این خطاب بیشتر می‌شود. این پدیده بایاس همبستگی<sup>۲</sup> نامیده می‌شود. یک روش برای حل این مسئله، آن است که ابتدا گروه‌هایی از ویژگی‌های با همبستگی بالا با به‌کارگیری دسته‌بندی<sup>۳</sup> سلسله‌مراتبی تشکیل و سپس از مراکز دسته‌ها به عنوان ویژگی نماینده، در مجموعه ویژگی‌های مورد استفاده در طبقه‌بندی استفاده شود. در سال ۲۰۱۵، یان و زانگ روش مؤثر دیگری برای حل این مسئله ارائه دادند [3]. آن‌ها به جای یک ویژگی نماینده، از یک فهرست ویژگی بازمانده<sup>۴</sup> استفاده می‌کنند. ابتدا کاهش ویژگی بازگشتی اجرا شده و در مرحله بعد ارزیابی بدون اثر بایاس ناشی از همبستگی انجام می‌گیرد. فهرست  $F^{out}$  فهرست  $F^{in}$  ویژگی‌هایی است که در یک اجرا از RFE باید حذف شوند و فهرست ویژگی‌های باقی‌مانده است. هدف الگوریتم، انتقال ویژگی‌های مفید بالقوه از  $F^{out}$  به  $F^{in}$  است. به‌منظور تعیین گروه‌های با همبستگی بالا در  $F^{out}$  دو ترشیل  $T_g$  و  $T_c$  استفاده می‌شود. ابتدا ویژگی با بالاترین اندازه معیار در  $F^{out}$  به نام  $k$  مورد آزمایش قرار می‌گیرد. اگر بیش از  $T_g$  ویژگی وجود داشته باشند که مقدار ضریب همبستگی آن‌ها با  $k$  بالاتر از  $T_c$  باشد، آن‌ها به عنوان یک گروه معرفی می‌شوند. اگر هیچ‌یک از اعضای گروه در  $F^{in}$  نباشند،  $k$  به  $F^{in}$  منتقل می‌شود. این کار برای تمام ویژگی‌های در  $F^{out}$  تکرار می‌شود. مقدار کوچک  $T_g$  به‌منظور بررسی گروه‌های دارای همبستگی کوچک‌تر انتخاب می‌شوند. برای پیاده‌سازی کارامدتر این روش باید تعداد ویژگی‌هایی که در هر مرحله به  $F^{out}$  وارد می‌شوند، مشخص شوند. در ابتدا نیمی از ویژگی‌ها در هر مرحله حذف می‌شوند. وقتی تعداد ویژگی‌های موجود در  $F^{in}$  کمتر از آستانه  $T_e$  شود، ویژگی‌ها یکی‌یکی حذف می‌شود. در



(شیخ - ۱۱). اسکاره همبستگی بین عریم برای چهارمین باند فرکانسی در حالتی که در (a) هیچ همپوشانی وجود ندارد، (b) همپوشانی ۵۰ درصد، (c) ۷۵ درصد و (d) ۸۷.۵ درصد.  
**(Figure-3): Interframe Correlation for forth frequency band for a) without correlation b) 50% correlation c) 75% correlation d) 87.5% correlation**

### ۳-۳- کاهش ویژگی بازگشتی با استفاده از کاهش بایاس در همبستگی

یافتن روشی برای کاهش بعد فضای ویژگی و غلبه بر مشکل بیش‌برازش، مسئله شناخته‌شده‌ای در طبقه‌بندی و به‌طور کلی یادگیری ماشین است. علاوه‌بر این همبستگی میان برخی ویژگی‌ها، کارایی آن‌ها در طراحی طبقه‌بند کاهش می‌دهد. روش‌های اولیه به کار گرفته شده برای انتخاب ویژگی، اثر هر یک از ویژگی‌ها را به‌نهایی بر روی طبقه‌بندی داده‌ها بررسی می‌کنند. آن‌ها از ضریب همبستگی ویژگی با هر طبقه، به عنوان معیاری برای رتبه‌بندی آن ویژگی استفاده می‌کنند. در این روش‌ها، ویژگی‌های مکمل که در کنار یکدیگر خوب عمل می‌کنند مورد غفلت قرار می‌گیرند و همچنین امکان انتخاب ویژگی‌هایی با اثر یکسان به وجود خواهد آمد. روش دیگر پیشنهاد شده برای ارزیابی یک ویژگی، بررسی اثر حذف آن از طبقه‌بند است. این روش نیز به‌دلیل بررسی انفرادی ویژگی‌ها ضعف‌های قبل را خواهد داشت. راه کاری که برای این مشکلات ارائه شد، انتخاب مجموعه‌ای از ویژگی‌ها به جای یک ویژگی است؛ اما همچنان نمی‌توان گفت مجموعه ویژگی‌های دارای رتبه بالاتر برای طبقه‌بندی مهم‌ترند. گاییون و همکارانش در سال ۲۰۰۲ روشی به نام کاهش ویژگی بازگشتی<sup>۱</sup> ارائه دادند. در این روش ابتدا تمام ویژگی‌ها در فهرستی به نام ویژگی‌های باقی‌مانده قرار می‌گیرند. پس از

<sup>2</sup>Correlation Bias (CB)

<sup>3</sup>Clustering

<sup>4</sup>Surviving

<sup>۱</sup>Recursive Feature Elimination

TIMIT یک بانک اطلاعاتی از گفتار پیوسته انگلیسی است که توسط شرکت TI و دانشگاه MIT تهیه شده و اداره استاندارد آمریکا آن را تأیید کرده است. زیرمجموعه مورد استفاده از این مجموعه داده در این پژوهش، ۶۰ نمونه مشکل از جملات ده‌گانه بیان شده از ۲۶ گوینده است.

بر روی هر یک از مجموعه‌های داده، نهان‌نگاری به روش Steghide و LSB-Matching با درصد ظرفیت‌های LSB-Matching بیست و پنجاه درصد انجام شده است. روش Sharp در سال ۲۰۰۱، بر اساس مقاله ارائه شده توسط [13]، یکی از ابزارهای معتبر پیاده‌سازی شده است. پیاده‌سازی WAV، JPEG، BMP و PNG را پشتیبانی می‌کند. در پیاده‌سازی حاضر از نسخه ۱.۵ آن استفاده شده است.

برای انجام طبقه‌بندی با استفاده از ماشین‌های بردار پشتیبان از ابزارهای موجود در LIBSVM استفاده شده است. این مجموعه، یکی از قوی‌ترین ابزارهای طبقه‌بندی و رگرسیون و مورد استفاده در تقریباً تمامی مقالات مربوط به نهان‌کاوی و به‌طور کلی طبقه‌بندی است. نسخه ۳/۲۰ آن که جدیدترین نسخه ارائه شده در سال ۲۰۱۴ است، مورد استفاده قرار گرفته است.

#### ۴-۲- نتایج آزمایش‌های و تحلیل بهبودهای ناشی از روش‌های پیشنهادی

برای مجموعه داده از دو مرجع Grid و TIMIT استفاده شده است. برای هر یک از دو مرجع کمینه، بیشینه و میانگین پیچیدگی بر اساس فرمول پیشنهادی لیو محاسبه شده است. پیچیدگی سیگنال به عنوان معیاری برای سنجش کارایی روش نهان‌نگاری علاوه بر نرخ نهان‌نگاری مطرح می‌شود. به این صورت که هر اندازه پیچیدگی سیگنال بالاتر باشد، نهان‌نگاری موفق‌تر و انجام نهان‌کاوی بر روی آن مشکل‌تر است. نحوه محاسبه پیچیدگی به صورت زیر است:

$$C(f(t)) = \frac{\frac{1}{N-2} \sum_{t=0}^{N-1} |D_f^2(t)|}{\frac{1}{N} \sum_{t=0}^{N-1} |f(t)|} \quad (5)$$

بر اساس دسته‌بندی انجام شده در مقاله لیو، چهار گروه سیگنال با پیچیدگی‌های مختلف مورد بررسی قرار گرفته است. دسته نخست پیچیدگی پایین از ۰/۰۴ تا ۰/۰۸، دسته دوم پیچیدگی متوسط پایین از ۰/۰۸ تا ۰/۰۱۲، دسته سوم پیچیدگی متوسط بالا از ۰/۰۱۲ تا ۰/۰۸ و دسته چهارم

اینجا  $T_e$ ،  $T_g$  و  $T_c$  برابر ۰، ۶۰ و ۲ نظر گرفته شده است. این روش کاهش ویژگی بازگشته به همراه کاهش بایاس همبستگی<sup>۱</sup> نامیده می‌شود. پایداری الگوریتم انتخاب ویژگی، موضوع مهمی است که در همین‌واخر در پژوهش‌ها به آن پرداخته شده است. پایداری، حساسیت روش به تغییر در مجموعه آموزشی است؛ به این معنا که اگر نمونه‌های آموزشی دچار اعوجاج یا نوفه شوند، تغییر زیادی در مجموعه ویژگی‌های انتخاب شده رخ ندهد.

اندازه تفاوت بین دو زیرمجموعه انتخاب شده را می‌توان به شکل زیر نوشت:

$$S(A, B) = \frac{|A \cap B|}{|A \cup B|} \quad (4)$$

این مقدار بین صفر و یک قرار دارد که صفر به معنی عدم تفاوت در مجموعه ویژگی‌های انتخاب شده و یک به معنی عدم اشتراک در این مجموعه است. برای ارزیابی پایداری 10-fold cross validation ویژگی، از روش SVM\_RFE+CBR استفاده می‌شود. در هر مرحله به‌طور تصادفی تعدادی از نمونه‌های آموزشی انتخاب می‌شود و رتبه‌بندی اولیه با استفاده از آن‌ها صورت می‌گیرد؛ درنهایت هر جفت از رتبه‌بندی‌ها با هم مقایسه شده و از میانگین آن‌ها پایداری نهایی به دست می‌آید. طبق بررسی انجام شده توسط Yan و همکارش [3] در بین تمام الگوریتم‌های انتخاب ویژگی الگوریتم SVM\_RFE+CBR دقیق‌تر و پایداری بالاتری را دارد.

## ۴- شبیه‌سازی و نتایج روش پیشنهادی

### ۱- مجموعه داده مورد بررسی

برای پیاده‌سازی و استخراج نتایج از دو مجموعه داده استفاده شده است. مجموعه نخست عبارت است از مجموعه GRID که این مجموعه داده، محصولی از کار پژوهشی انجام شده در دانشگاه شفیلد در سال ۲۰۰۵ و بهمنظور پژوهش‌ها در حوزه بازشناسی گفتار است. این مجموعه داده، مشکل از ۳۴۰۰ نمونه است که توسط ۳۴ گوینده مختلف ایجاد شده و هر گوینده، هزار نمونه را بیان کرده است. آنچه در این پژوهش مورد استفاده قرار گرفته، زیرمجموعه‌ای مشکل از ۶۰ نمونه از هزار نمونه ایجاد شده توسط یکی از ۳۴ گوینده مجموعه داده است.

مجموعه دیگر TIMIT است. این مجموعه داده نیز از مجموعه‌های بسیار معروف و کارامد برای پردازش گفتار است.

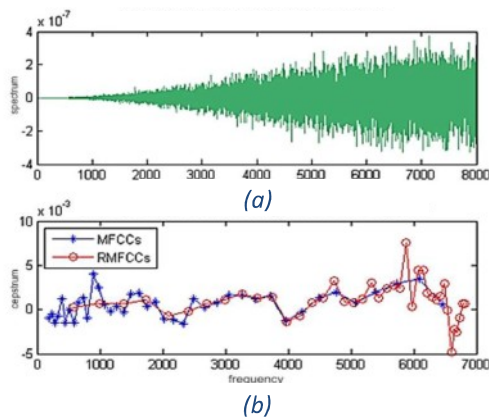
<sup>۱</sup> SVM-RFE+CBR



$$\delta(F(u) = m, F(u+1) = n) = \begin{cases} 1, & \text{if } F(u) = m, F(u+1) = n \\ 0, & \text{Otherwise} \end{cases} \quad (7)$$

پس از ساخت ماتریس هر یک از اجزای آن به عنوان ویژگی برای نهان کاوی استفاده می شود. آستانه انتخاب شده ۱۶۹ است و بنابراین یک ماتریس  $13 \times 13$  شامل ویژگی به دست خواهد آمد.

در این مقاله، ویژگی های کارامدتری ارائه شده که موجب افزایش دقت و پایداری نهان کاوی شده است. ضرایب پیشنهادشده عبارت است از ضرایب کپستروم معکوس مل، ضرایب معکوس فیلترشده مل و همبستگی بین فریم. ضرایب کپستروم مل، با اعمال فیلتر مل که پهنهای زیرباندهای فرکانسی آن با مقیاس مل محاسبه می شود، بر روی اندازه طیف سیگنال به دست می آید. بنابراین اندازه طیف در سیگنال های فرکانس پایین در مقادیر بزرگ تری از فیلتر ضرب و با وضوح بیشتری بررسی خواهد شد. از سوی دیگر ضرایب معکوس مل همین عملکرد را برای بخش فرکانس بالای سیگنال خواهند داشت و از آن جایی که در نهان نگاری بیشتر تغییرات در باندهای فرکانس بالا اتفاق می افتد، انتظار می رود ویژگی های مهم تری برای نهان کاوی باشند.



(شکل-۴): a: تفاوت اندازه طیف سیگنال پاک و نهان نگاری شده به روش steghide b: تفاوت اندازه ضرایب مل و معکوس مل برای این دو سیگنال

(Figure-4): a:Difference between clear and stego signal with steghide method ,b: Difference between Mel and reversed Mel coefficients for these signals

شکل (۴) نتایج اعمال فیلتر بانک مل و معکوس مل بر روی یک سیگنال نهان نگاری شده را از مجموعه TIMIT نشان می دهد. این شکل، تغییرات بیشتر ضرایب معکوس مل نسبت به ضرایب مل در اثر اعمال الگوریتم نهان نگاری را به وضوح بیان می کند.

پیچیدگی بالا یعنی بالاتر از ۰/۱۲ است. بر اساس نتایج به دست آمده در آن مقاله، دقت به دست آمده برای طبقه بندی با پیچیدگی سیگنال نسبت عکس دارد و هر اندازه پیچیدگی بالاتر بود دقت طبقه بندی کاهش می یابد. برای سیگنال های موجود در دو مرجع GRID و TIMIT که در این مقاله مورد استفاده قرار گرفته اند، جدول (۱) میزان پیچیدگی را نشان می دهد.

(جدول-۱): میزان پیچیدگی سیگنال در مراجع داده

(Table-1): Complexity of signal for different data bases

میانگین	حداقل	حداکثر	
۰/۰۴۳۴	۰/۰۶۰۲	۰/۲۰۰	GRID
۰/۱۰۲۶	۱/۰۳۲۷	۰/۴۳۲۰	TIMIT

بر اساس دسته بندی ذکر شده در بالا، سیگنال های مورد استفاده شده برای این مقاله، سیگنال هایی با پیچیدگی بالا هستند.

برای هر یک از دو دسته داده، نهان نگاری با روش های LSB\_Matching و Steghide در صدد و سپس نهان کاوی انجام می گیرد که در ادامه شرح داده خواهد شد.

#### ۱-۴-۲-۱- تحلیل اثر ویژگی ها

تا کنون ویژگی های متفاوتی در حوزه نهان کاوی مطرح شده است. یکی از مقالات شاخصی که در آن ویژگی های کارامدی مطرح و به عنوان مرجع در بسیاری از پژوهش های معتبر این حوزه استفاده شده، مقاله ای است که توسط لیو و همکارانش مطرح شده است [6]. در این مقاله از ضرایب ماتریس احتمال انتقال مارکوف، ضرایب مل و ضرایب مل فیلتر شده برای مشتق دوم سیگنال به عنوان ویژگی استفاده شده است.

ماتریس احتمال انتقال می تواند برای مشخص کردن فرایند اتفاقی مارکوف استفاده شود. در این ماتریس، احتمال انتقال بین دو عنصر همسایه نشان داده می شود. اگر یک سیگنال صوتی با  $f_i(t)$  ( $t=0, 1, 2, \dots, N-1$ ) نشان داده شود، ماتریس احتمال انتقال مارکوف برای مشتق دوم سیگنال  $D_f^2(t)$  ( $t=1, 2, \dots, N-2$ ) به صورت زیر تعریف می شود:

$$M_{D_f^2}(i, j) = \frac{\sum_{t=1}^{N-3} \delta(D_f^2(t)=i, D_f^2(t+1)=j)}{\sum_{t=1}^{N-3} \delta(D_f^2(t)=i)} \quad (6)$$

که  $\delta$  به صورت زیر تعریف می شود:

## ۴-۲-۲- نتایج به دست آمده

آزمایش‌ها در سه گروه کلی روش پیشنهادی لیو و همکارانش، روش پیشنهادی در این مقاله با استفاده از ویژگی‌های پیشنهادی و اعمال روش کاهش ویژگی‌ها با استفاده از الگوریتم SVM-RFE+CBR انجام می‌شود. به طور کلی ویژگی‌های موجود عبارت است از ۱۶۹ ضریب مارکوف MKV ۲۹ ضریب مل MEL ۲۹ ضریب معکوس مل R\_MEL ۲۹ ضریب معکوس مل فیلترشده R\_F\_MEL و به اندازه تعداد فریم‌ها ضریب همبستگی بین فریم. همان‌گونه که اشاره شد، برای انجام آزمایش‌های مجموعه داده Grid و TIMIT به کارگرفته شده‌اند. برای هر کدام از این مجموعه‌ها از روش‌های از ظرفیت‌های بیست و پنجاه درصد استفاده شده است. جدول (۲) شماره هر یک از آزمایش‌ها را نشان می‌دهد.

(جدول-۲): مجموعه داده‌های مورد استفاده در آزمایش‌ها

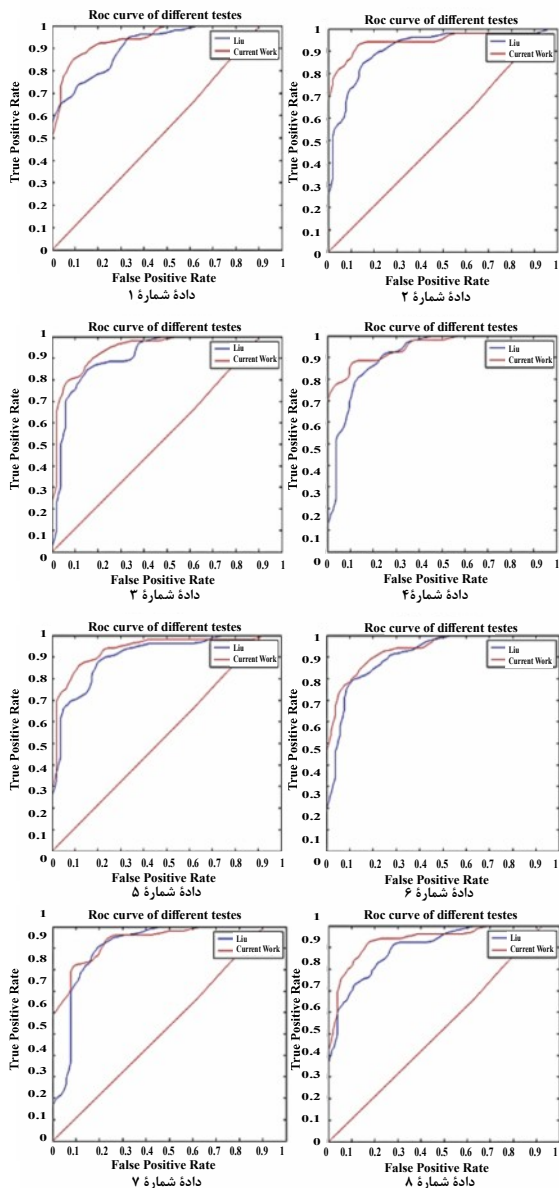
(Table-2): Experiments Datasets

مجموعه داده	grid lsbmch 20%	grid lsbmch 50%	grid stghd 20%	Grid stghd 50%
شماره	۱	۲	۳	۴
مجموعه داده	timit lsbmch 20%	timit lsbmch 50%	timit stghd 20	Timit stghd 50%
شماره	۵	۶	۷	۸

نمودارهای شکل (۵)، منحنی ROC روش لیو و روش پیشنهادی را با هم مقایسه می‌کند.

برای به دست آوردن تعداد بهینه ویژگی‌ها و استفاده آن در طبقه‌بندی از الگوریتم کاهش ویژگی توسط رتبه‌بندی به دست آمده از روش SVM-RFE+CBR استفاده شده است. ملاک ارزیابی عملکرد طبقه‌بند، مساحت زیرمنحنی ROC است. همان‌گونه که در قابل نیز بیان شد، روش لیو شامل ضرایب مارکوف و مل، روش پیشنهادشده در این مقاله شامل ضرایب مارکوف، معکوس مل و همبستگی بین فریم است. بررسی دقیق‌تر تغییرات مساحت زیرنمودار ROC و دقت یعنی همان <sup>۱</sup>AUC و <sup>۲</sup>ACC در جداول (۳) و (۴) نشان داده شده است.

سطرهای سفید نشان‌دهنده درصد دقت و سطرهای نارنجی نشان‌دهنده مساحت زیرنمودار ROC است که عددی بین صفر تا یک است. هرچه این مقدار به یک نزدیک‌تر باشد، طبقه‌بند بهتر عمل کرده و نهان‌کاوی موفق‌تری صورت خواهد گرفت.



(شکل-۵): منحنی‌های ROC دو روش  
(Figure-5): ROC Curves for both Approaches

(جدول-۳): نتایج به دست آمده برای سه آزمایش  
(Table-3): Results for three Experiments

مجموعه داده	مجموعه ۱ داده	مجموعه ۲ داده	مجموعه ۳ داده	مجموعه ۴ داده
روش لیو	۸۳/۷۹	۸۲/۷۷	۸۲/۳۶	۸۳/۲۳
	۰/۹۱۳	۰/۹۱۲	۰/۹۱۱	۰/۹۱۱
روش پیشنهادی	۸۷/۷۵	۸۷/۹۴	۸۷/۶۵	۸۸/۲۱
	۰/۹۴۶	۰/۹۴۷	۰/۹۴۵	۰/۹۴۹
کاهش ویژگی	۸۷/۱۱	۸۸/۵۶	۸۸/۷۵	۸۸/۳۶
	۰/۹۵۰	۰/۹۵۴	۰/۹۵۱	۰/۹۵۵

<sup>۱</sup> Area Under Curve

<sup>۲</sup> Accuracy

با توجه به قراردادشتن سیگنال‌های مورد آزمایش در دسته سیگنال‌های با پیچیدگی بالا، نتایج بدست‌آمده قابل اعتماد و تعیین خواهند بود. در آزمایش‌های صورت گرفته، دقت نهان‌کاوی با استفاده از ویژگی‌های پیشنهاده شده چهار تا شش درصد افزایش پیدا می‌کند. مقایسه نمودارهای ROC بدست‌آمده از روش لیو و روش پیشنهادی، این بهبود را به‌وضوح نشان می‌دهند.

## 6- References

- [1] Ghasemzadeh, H. Tajikkhas, M. Khalilarjmandi, H. "Audio Steganalysis based on psychoacoustic model of human hearing". (2016) ELSEVIER, Signal Processing Letters, Vol. 51, Pages 664-672.
- [2] Ren, Y. Xiong , Q. Wang, L. "Steganalysis of AAC using calibrated Markov model of adjacent codebook". (2016) IEEE International Conference on Acoustica, Speech and Signal Processing.
- [3] Yan, Ke. Zhang, David. "Feature selection and analysis on correlated gas sensor data with recursive feature elimination". (2015) Elsevier, Sensors and Actuators B 212. Pages 353-363.
- [4] Ghasemzadeh, H. Khalil Arjmandi, M. "Reversed-Mel Cepstrum Based Audio Steganalysis". (2014) IEEE 4th International eConference on Computer and Knowledge Engineering.
- [5] Yang, Y. et.al. "An inter-frame correlation based error concealment of immittance spectral coefficients for mobile speech and audio codecs". (2014) IEEE International Conference on High Performance Computing and Communications.
- [6] Liu, Q. Sung, A. Qiao, M. "Derivative-Based Audio Steganalysis". (2011) ACM Transactions on Multimedia Computing, Communications and Applications, Vol. 7, No. 3, Article 18.
- [7] Tolosi, L. Lengauer, Th. "Classification with correlated features: unreliability of feature ranking and solutions". (2011) Data and text mining. Published by Oxford University Press. Vol. 27, Pages 1986–1994.
- [8] Liu, Q. Sung, A. Qiao, M."Temporal Derivative-Based Spectrum and Mel-Cepstrum Audio Steganalysis". (2009) IEEE Transaction on information forensics and security, Vol. 4, No. 3.
- [9] Liu, Q. et al. "Novel Stream Mining for Audio Steganalysis". (2009) ACM International Conference on Multimedia, Pages 95-104.
- [10] Zeng, W. et al. "An Algorithm of Echo Steganalysis based on Power Cepstrum and Pattern Classification". (2008) International Conference

(جدول-۴): نتایج بدست‌آمده برای سه آزمایش

(Table-4): Results for three Experiments

	مجموعه داده داده ۵	مجموعه داده ۶	مجموعه داده ۷	مجموعه داده ۸
روش لیو	۸۲/۹۴	۸۲/۳۱	۸۳/۰۱	۸۱/۷۷
	۰/۹۰۵	۰/۹۰۷	۰/۹۰۹	۰/۹۰۳
روش پیشنهادی	۸۶/۰۲	۸۶/۴۰	۸۶/۴۶	۸۵/۷۰
	۰/۹۳۶	۰/۹۳۶	۰/۹۳۹	۰/۹۳۶
کاهش ویژگی	۸۷/۵۰	۸۶/۶۳	۸۷/۸۸	۸۷/۴۰
	۰/۹۴۴	۰/۹۴۴	۰/۹۴۳	۰/۹۴۴

همان‌طور که رفتار تاحدودی ثابت ویژگی‌ها در جدول نشان می‌دهد، بهبودهای حاصل از ویژگی‌های پیشنهادی، دقت را تا چهار الی شش درصد افزایش می‌دهد. علاوه بر این، در مرحله کاهش ویژگی که بر روی ویژگی‌های پیشنهادی صورت می‌گیرد با انتخاب بهینه ویژگی‌ها و حذف اثرات نامطلوب ویژگی‌ها بر روی یکدیگر، دقت الگوریتم افزایش پیدا خواهد کرد. اعداد پررنگ نشان‌داده در جدول، بیشترین دقت را در طبقه‌بندی‌های انجام‌شده نشان می‌دهد.

## ۵- نتیجه‌گیری

یکی از مهم‌ترین روش‌هایی که برای نهان‌کاوی در سال‌های اخیر مطرح شده، روش پیشنهادشده توسط لیو است. در این روش، از ضرایب ماتریس انتقال مارکوف و ضرایب کپستروم مل استفاده می‌شود. ایده‌ای که برای بهبود دقت نهان‌کاوی، در این پژوهش مطرح شده بر پایه دو واقعیت مهم بنا شده است. نخست این که ضرایب کپستروم مل ویژگی‌هایی از سیگنال را در حوزه تبدیل بر مبنای مدل شناوی انسان استخراج می‌کنند؛ حال آن‌که حساسیت دستگاه شناوی انسان، در فرکانس‌های پایین بیشتر از فرکانس‌های بالا است. درنتیجه در این روش، مقدار اطلاعات پنهان شده که به طور عمومی در فرکانس‌های بالا بیشتر حضور دارد، مورد غفلت واقع می‌شود. با توجه به این نکته، استفاده از معکوس ضرایب مل در اینجا توصیه شده، نکته دیگر هم توجه به همبستگی میان ضرایب موجود در فریم‌های همسایه و پیشنهاد استفاده از آن‌ها به عنوان ویژگی است که پس از اعمال نهان‌نگاری تأثیر می‌پذیرد. این ویژگی‌ها نیز برای نخستین بار در زمینه نهان‌کاوی صوت مورد استفاده قرار می‌گیرند. درنهایت با استفاده از الگوریتم کاهش ویژگی بازگشتی، دقت به میزان قابل توجهی افزایش خواهد یافت.

عضو هیئت علمی و استادیار گروه مهندسی کامپیوتر دانشکده فنی و مهندسی دانشگاه الزهرا است. زمینه‌های پژوهشی مورد علاقه ایشان پردازش صوت، تلخیص متن، ترجمه ماشینی خودکار و پردازش سیگنال‌های بیولوژیک است.  
نشانی رایانامه ایشان عبارت است از:  
[nriahi@alzahra.ac.ir](mailto:nriahi@alzahra.ac.ir)

- on Information and Automation, Pages 1667-1670.
- [11] Liu, Y. et al. "A Novel Audio Steganalysis based on Higher-Order Statistics of Distortion Measure with Hausdroff Distance". (2008) Lecture Notes in Computer Science, Vol. 5222, Pages 487-501.
  - [12] Ismail Avcibas,"Audio Steganalysis With Content-Independent Dis-tortion Measures". (2006) IEEE Signal Processing Letters,Vol.13, No.2.
  - [13] Johnson, M.K. et al. "Steganalysis of Recorded Speech". (2005) Conference on Security, Steganography and Watermarking of Multi-media, Vol. 5681, Pages 664-672.
  - [14] Ozer, H. Aktivbas, I. et al. "Steganalysis of Audio based on Audio Quality Metrics". (2003) Conference on Security, Steganography and Watermarking of Multimedia, Vol. 5020, Pages 55-66.
  - [15] Harmsen, J.J. Pearlman, W.A. "Steganalysis of additive noise modelable information Hiding". (2006)
  - [16] Paliwal, K.K. "Use of temporal correlation between successive frames in a hidden markov-model based speech recognizer". (1993) IEEE international conference on Acoustics, speech, and signal processing
  - [17] I. Guyon, J. Weston, S. B, and V. V. (2002) "Gene selection for cancer classification using support vector machines". Mach. Learn., Vol. 46, No. 1–3, pp. 389–422.



**فاطمه اشعری** مدارک کارشناسی و کارشناسی ارشد خود را بهترتب در سال‌های ۸۵ و ۹۴ از دانشگاه شاهد و دانشگاه الزهرا در رشته مهندسی کامپیوتر گرایش سخت‌افزار و رشته مهندسی کامپیوتر گرایش هوش مصنوعی دریافت کرده است. زمینه‌های پژوهشی مورد علاقه ایشان نهان‌نگاری و نهان‌کاوی، پردازش سیگنال، پردازش صوت و پردازش تصویر است.  
نشانی رایانامه ایشان عبارت است از:  
[ftashari@gmail.com](mailto:ftashari@gmail.com)



**نوشین ریاحی** مدارک کارشناسی، کارشناسی ارشد و دکتراخی خود را بهترتب در سال‌های ۶۴، ۶۸ و ۷۶ از دانشگاه صنعتی اصفهان و دانشگاه صنعتی شریف در رشته مهندسی برق گرایش الکترونیک دریافت کرده است. ایشان در حال حاضر

فصلنامه